

Ćwiczenie nr 54

Drgania relaksacyjne

1 Wstęp teoretyczny

2 Opracowanie wyników pomiarów

2.1 Tabele pomiarowe

C [μF]	t_{20} [s]
1,0	12,63
2,0	25,62
3,0	37,75
4,5	58,00
5,0	64,00
6,5	83,84
7,0	91,84
8,0	104,03
9,0	117,28

Tabela 1: Zmierzone czasy trwania 20 cykli drgań dla znanych pojemności (Seria I, $R = 1,4 \cdot 10^6 \Omega$)

C [μF]	t_{20} [s]
1,0	23,32
2,0	46,37
3,0	69,15
4,5	103,84
5,0	110,07
6,5	150,91
7,0	163,43
8,0	187,75
9,0	210,66

Tabela 2: Zmierzone czasy trwania 20 cykli drgań dla znanych pojemności (Seria II, $R = 2,6 \cdot 10^6 \Omega$)

Rezystancja [$\text{M}\Omega$]	t_{20} [s]
1,4	45,65
2,6	89,22

Tabela 3: Zmierzone czasy trwania 20 cykli drgań dla nieznanej pojemności C_x przy dwóch wartościach rezystancji

Parametr	Wartość
Napięcie zasilania U_0	140 V
Liczba cykli N	20

Tabela 4: Stałe parametry układu pomiarowego

2.2 Wyznaczenie okresów drgań relaksacyjnych T dla pomiarów z kondensatorami o znanej pojemności

Okres drgań relaksacyjnych obliczono ze wzoru:

$$T = \frac{t_{20}}{20} \quad (1)$$

gdzie t_{20} to zmierzony czas trwania 20 cykli drgań.

Wyniki obliczeń okresów przedstawiono w tabelach 5 i 6.

C [μF]	t_{20} [s]	T [s]
1,0	12,63	0,6315
2,0	25,62	1,2810
3,0	37,75	1,8875
4,5	58,00	2,9000
5,0	64,00	3,2000
6,5	83,84	4,1920
7,0	91,84	4,5920
8,0	104,03	5,2015
9,0	117,28	5,8640

Tabela 5: Okresy drgań relaksacyjnych dla znanych pojemności (Seria I, $R = 1,4 \cdot 10^6 \Omega$)

C [μF]	t_{20} [s]	T [s]
1,0	23,32	1,1660
2,0	46,37	2,3185
3,0	69,15	3,4575
4,5	103,84	5,1920
5,0	110,07	5,5035
6,5	150,91	7,5455
7,0	163,43	8,1715
8,0	187,75	9,3875
9,0	210,66	10,5330

Tabela 6: Okresy drgań relaksacyjnych dla znanych pojemności (Seria II, $R = 2,6 \cdot 10^6 \Omega$)

Przykładowe obliczenie dla $C = 1,0 \mu\text{F}$ (Seria I):

$$T = \frac{12,63}{20} = 0,6315 \text{ s} \quad (2)$$

2.3 Wyznaczenie stałej K z równania $T = K \cdot R \cdot C$

Ze wzoru $T = K \cdot R \cdot C$ wyznaczono wartości stałej K dla każdego pomiaru:

$$K = \frac{T}{R \cdot C} \quad (3)$$

Wartości stałej K dla poszczególnych pomiarów

C [μF]	T [s]	K
1,0	0,6315	0,4511
2,0	1,2810	0,4575
3,0	1,8875	0,4494
4,5	2,9000	0,4603
5,0	3,2000	0,4571
6,5	4,1920	0,4607
7,0	4,5920	0,4686
8,0	5,2015	0,4644
9,0	5,8640	0,4654

Tabela 7: Wartości stałej K dla Serii I ($R = 1,4 \cdot 10^6 \Omega$)

C [μF]	T [s]	K
1,0	1,1660	0,4485
2,0	2,3185	0,4459
3,0	3,4575	0,4433
4,5	5,1920	0,4438
5,0	5,5035	0,4233
6,5	7,5455	0,4465
7,0	8,1715	0,4490
8,0	9,3875	0,4513
9,0	10,5330	0,4501

Tabela 8: Wartości stałej K dla Serii II ($R = 2,6 \cdot 10^6 \Omega$)

Średnie wartości stałej K

Obliczono średnie wartości stałej K dla każdej serii oraz wartość łączną:

- K_{sr} (Seria I): 0,4594
- K_{sr} (Seria II): 0,4446
- K_{sr} (Całość): 0,4520

Wartość łączna $K_{sr} = 0,4520$ została wykorzystana do dalszych obliczeń pojemności C_x .

Przykładowe obliczenie dla $C = 1,0 \mu\text{F}$ (Seria I):

$$K = \frac{0,6315}{1,4 \cdot 10^6 \cdot 1,0 \cdot 10^{-6}} = 0,4511 \quad (4)$$

2.4 Wyznaczenie okresów drgań relaksacyjnych T_x dla kondensatora o nieznanej pojemności

Dla nieznanej pojemności C_x zmierzono czasy trwania 20 cykli drgań przy dwóch wartościach rezystancji. Okresy obliczono ze wzoru $T_x = t_{20}/20$.

R [MΩ]	t_{20} [s]	T_x [s]
1,4	45,65	2,2825
2,6	89,22	4,4610

Tabela 9: Okresy drgań relaksacyjnych dla nieznanej pojemności C_x

Przykładowe obliczenie dla $R = 1,4 \cdot 10^6 \Omega$:

$$T_x = \frac{45,65}{20} = 2,2825 \text{ s} \quad (5)$$

2.5 Obliczenie nieznanej pojemności C_x z równania $T = K \cdot R \cdot C$

Wykorzystując średnią wartość stałej $K_{sr} = 0,4520$ oraz obliczone okresy T_x , wyznaczono nieznana pojemność ze wzoru:

$$C_x = \frac{T_x}{K_{sr} \cdot R} \quad (6)$$

Obliczone wartości C_x

R [MΩ]	T_x [s]	C_x [μF]
1,4	2,2825	3,6069
2,6	4,4610	3,7959

Tabela 10: Obliczone wartości nieznanej pojemności C_x

Średnia wartość C_x

Obliczono średnią wartość pojemności C_x :

$$C_{x,sr} = \frac{3,6069 + 3,7959}{2} = 3,7014 \mu\text{F} \quad (7)$$

Przykładowe obliczenie dla $R = 1,4 \cdot 10^6 \Omega$:

$$C_x = \frac{2,2825}{0,4520 \cdot 1,4 \cdot 10^6} \cdot 10^6 = 3,6069 \mu\text{F} \quad (8)$$

2.6 Odczytanie wartości C_x z wykresu zależności $T = f(C)$

Sporządzono wykresy zależności okresu drgań od pojemności dla obu wartości rezystancji. Z wykresów odczytano wartości nieznanej pojemności C_x na podstawie zmierzonych okresów T_x .

Wartości C_x odczytane z wykresów

R [MΩ]	T_x [s]	C_x [μF]
1,4	2,2825	3,5524
2,6	4,4610	3,8690

Tabela 11: Wartości C_x odczytane z wykresów $T = f(C)$

Średnia wartość C_x z wykresów

Obliczono średnią wartość pojemności C_x odczytaną z wykresów:

$$C_{x,sr}^{wykres} = \frac{3,5524 + 3,8690}{2} = 3,7107 \mu\text{F} \quad (9)$$

Wykresy zależności $T = f(C)$ (rysunek 1) wykazały liniową charakterystykę, co pozwoliło na precyzyjny odczyt wartości C_x metodą interpolacji.

2.7 Porównanie wartości C_x obliczonych ze wzoru oraz odczytanych z wykresu

Porównano wartości nieznanej pojemności C_x obliczone metodą analityczną oraz odczytane z wykresów.

Porównanie wartości C_x

Metoda	$C_x [\mu\text{F}]$
Obliczenia ze wzoru (średnia)	3,7014
Wykresy (średnia)	3,7107

Tabela 12: Porównanie wartości C_x uzyskanych różnymi metodami

Różnica między metodami

Różnica między wartością C_x obliczoną ze wzoru a odczytaną z wykresu wynosi:

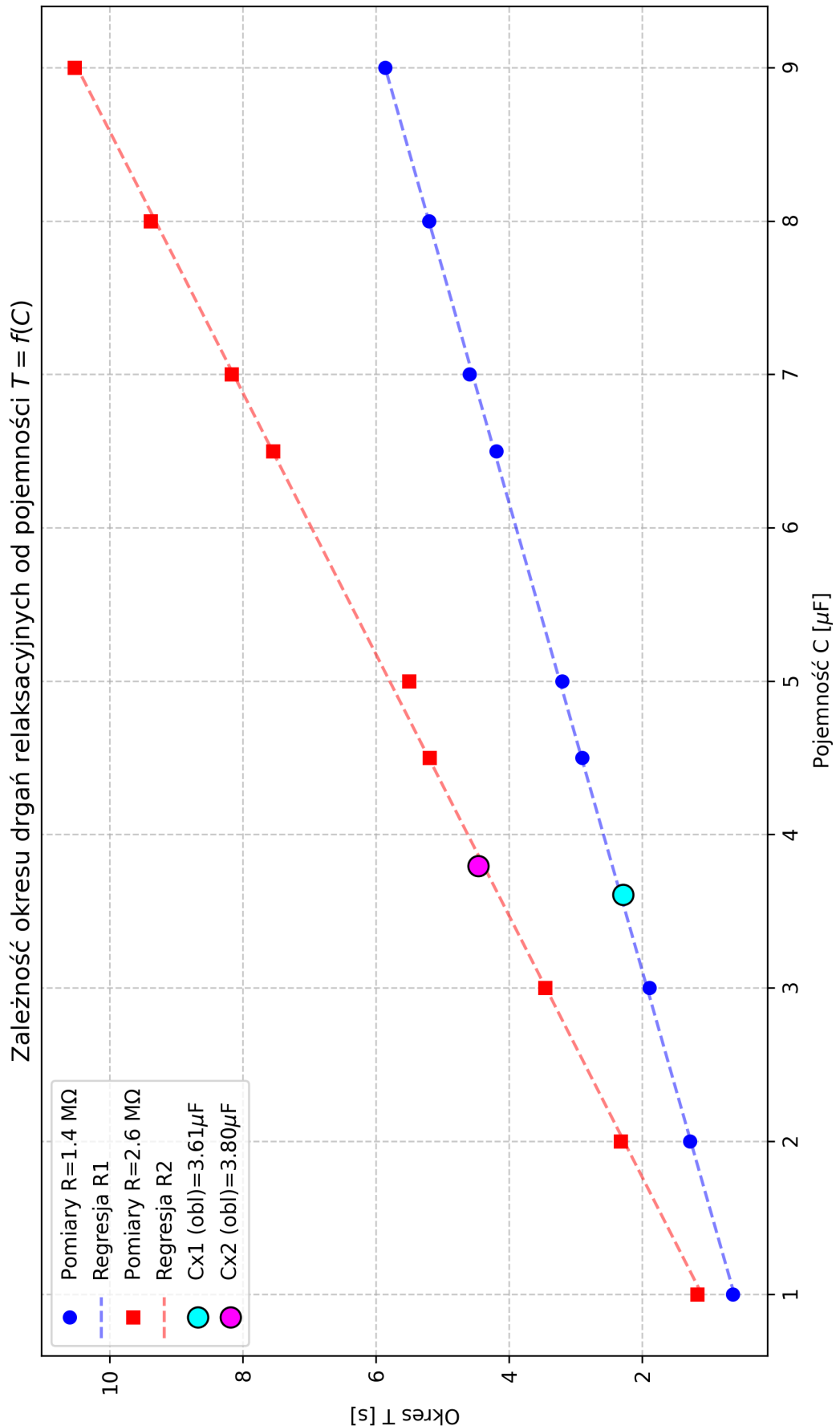
$$\Delta C_x = |3,7107 - 3,7014| = 0,0093 \mu\text{F} \quad (10)$$

Różnica względna:

$$\frac{\Delta C_x}{C_{x,sr}} \cdot 100\% = \frac{0,0093}{3,7014} \cdot 100\% \approx 0,25\% \quad (11)$$

Tak mała różnica (0,25%) świadczy o bardzo dobrej zgodności obu metod wyznaczania nieznanej pojemności C_x .

3 Wykresy



Rysunek 1: Wykres zależności okresu drgań T od pojemności C dla dwóch wartości rezystancji

Literatura